

كلية العلوم

القسم : الفيزياء

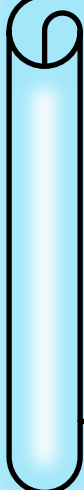
السنة : الرابعة



١

المادة : علم النانو

المحاضرة : الرابعة/نظري /



{{{ A to Z مكتبة }}}}

مكتبة A to Z Facebook Group



٢٠٢٦

كلية العلوم ، كلية الصيدلة ، الهندسة التقنية ، تكنولوجيا المعلومات

يمكنكم طلب المحاضرات برسالة نصية (SMS) أو عبر (What's app-Telegram) على الرقم 0931497960



#### ٤-٥ تقنيات توصيف تراكيب نانومترية :Techniques for Characterization of Nanostructures

إن وجود تقنيات ملائمة و المناسبة لتصنيف التراكيب النانوية يسمح بتحديد **شكل التراكيب النانوية ووسائلها الهندسية، وتوزع التركيب الكيميائي و مجالات الإجهاد فيها**، الخ؛ فمعرفة كل هذه الأشياء يمكننا من التبؤ بالخصائص الإلكترونية والبصرية التي سيكون لها دور مهم في التطبيقات. يمكن الإجابة على التساؤلات ذات الصلة بالوسطاء الهندسية للتراكيب النانوية وأشكالها عبر استعمال مجهر القوة الذرية AFM أو مجهر النفق الماسح STM.

- يضمن لنا كلٍ من مجهر القوة الذرية AFM ومجهر النفذ الإلكتروني TEM وسائل مفيدة للغاية لتحري التراكيب المخفية.
- ويمكن لانعراج الأشعة السينية X-Rays وبعض طرائق التألق الضوئي (الفوتوني) أن تُستخدم أيضاً لتعيين أبعاد وشكل التراكيب النانوية، ولكن، بشكل عام، مجاهر AFM، و STM، و TEM تمتلك **مقدمة فاصلة Resolution أفضل من تلك التي تمتلكها طرائق انعراج الأشعة السينية والتألق الضوئي**.
- ومن جهة أخرى، يُعد انعراج الأشعة السينية أداة مفيدة جداً لقياس حقول الإجهاد، والعيوب، والشوائب.

#### ٤-٦ المجهر الإلكتروني النفقي الماسح :Scanning Tunneling Microscopy

تسمح هذه التقنية الحديثة بدراسة: **الطبولوجية السطحية Surface Topologies** للعينة (الوصف التفصيلي للتضاريس والسمات السطحية الطبيعية والصناعية) و **تغيرات تابع العمل Work-Function Profiles** على **مستوى التدرج الذري في الفضاء الحقيقي**.

لدرس الآن جسمين صلبيين ناقلين يفصل بينهما فراغ:

- ◆ انطلاقاً من الفيزياء التقليدية يمكن النظر إلى عملية انتقال الإلكترون من جسم صلب إلى آخر على أنها عملية نقل الإلكترون من فوق حاجز خلاء، تحتاج لطاقة إضافية لتجاوزه؛ ولهذا السبب، تكون فرص حصول هذه العملية قليلة الاحتمال.
- ◆ ولكن بمقدور جسيمة، تبعاً لميكانيك الكم، أن تخترق مجالاً فراغياً كهذا (خاضعاً لحاجز كمون)؛ تسمى ظاهرة الاختراق هذه العبور بالنفق Tunneling.
- ◆ إذن، يمكن أن يحدث انتقال الإلكترون بين جسمين صلبيين وفق عملية عبور بالنفق يخترق من خلالها الإلكترون حاجز الخلاء.
- ✓ لقد أجريت تجارب العبور بالنفق؛ بمثابة مثال، باستخدام فلمين رقيقين فلزين يفصل بينهما خلاء أو عازل في حالته الصلبة (تركيب ساندوبيتش Sandwich مؤلف من فلم/عازل/film).

إذ يمكن دراسة كلٍ من الفلزين على أنه مسري Electrode وعند تطبيق جهد عليهما يتكون ما يسمى **تيار كهربائي نفقي** *Tunneling Electric Current* (نُتج بطريقة نفق الإلكترون عبر الخلاء).

وبمقدور هذا التيار أن يقدم معلومات حول الخصائص الإلكترونية، ولكن من الواضح أن هذه المعلومات ستكون متوسطة (إحصائياً) على مساحة سطح الفلم الفلز.

بضبط **شكل** أحد المسريين بشكل ملائم يمكن بلوغ مقدرة فاصلة مكانية **أقل** بكثير من المقدرة الفاصلة المكانية من أجل تراكيب "الساندويتش".

فطالما أن **الخلاء**؛ كمفهوم، هو حاجز نفق بسيط، فإن مثل هذه التجارب تمس خصائص المسريين وسطحهما العاربين مباشرة.

ومن الواضح أن عبور الخلاء النفقي يقدم إمكانيات مهمة، لا تخلو من التحدي، لدراسة فيزياء السطوح والعديد من المواضيع الأخرى ذات الصلة.

**يتتألف المجهر STM من:**

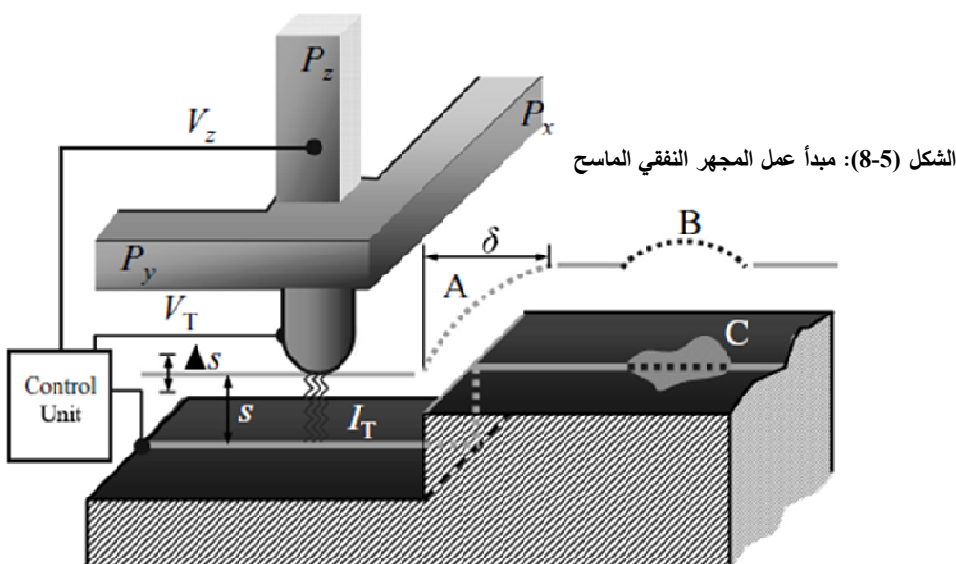
❖ رأسٍ فلزيٍ ماسح (يُعد مسري أولاً لوصلة النفق) يمسح السطح المطلوب التحري عنه (والذي يُعد المسري الثاني لوصلة النفق)، كما يظهر في **الشكل** (8-5).

❖ يثبت الرأس الفلزي على سوقة انتضاغطية *Piezodrive* ذات أذرع متعددة أشير إليها بالرموز  $P_x$ ،  $P_y$ ، و  $P_z$ ؛ تُصنع السوقة الانضاغطية من مادة خزف انتضاغطية.

❖ إن تيار النفق  $I_T$  حساس **للمسافة** ( $s$ ) الفاصلة بين الرأس الفلزي وسطح العينة، أي أن:

$$I_T \propto V_T \exp(-A\phi^{1/2} s),$$

حيث  $\phi$  الارتفاع الوسطي لحاجز الكمون،



و  $A$  ثابت تساوي قيمته العددية للواحد إذا قيس  $\phi$  بالإلكترون فولط (eV) و  $s$  بالأنغستروم  $\text{\AA}$ .

► ومن الواضح هنا أن **ارتفاع الحاجز**  $\phi$  يساوي **تابع العمل** من أجل فلزٍ أو نصف ناقلٍ **مُطعمٍ**:

► فمن أجل قيمة نموذجية  $\phi$  من رتبة **كذا** إلكترون فولط، **يتغير تيار النفق**  $I_T$  بمقدار **عشر**

**مرات** من أجل كل تغير يطرأ على الفجوة  $s$  بمقدار  $1 \text{\AA}$ .

❖ **طبق** وحدة التحكم بين طرفي السوقة الانضغاطية  $V_z$  **جهدًا مستمرًا**  $P_z$ ، بحيث يبقى تيار النفق  $I_T$

**ثابتًا** أثناء مسح الرأس للسطح وفق الاتجاهين  $P_x$  و  $P_y$ :

فعدن ثبات التابع  $\phi$  **تقدّم** القياسات  $(V_z(x,y))$  **طبوولوجية السطح**  $(z(x,y))$  **مباشرةً**، كما يتضح من

**الشكل** (8-5) في خطوة السطح. إن تقوس الرأس الفلزي يجعل الدرجة Step الحادة تظهر كتشوهٍ على طول المسافة  $\delta$ .

❖ ومن أجل تيار نفق ثابت **ثُوَّص** تغيرات تابع العمل  $\phi$  بتغيرات موافقة تطرأ على المسافة  $s$ .

❖ ومن ثمَّ عندما يكون تابع العمل **أصغر** في بقعةٍ مشوهةٍ؛ كتلك المشار إليها بالرمز **C**، **تشاهد** بنية

**سطحية إضافية** يُرمز لها بالرمز **B** في **الشكل** (8-5).

❖ ولكن يمكن فصل "التركيب المترّضة بتابع العمل" عن التركيب الحقيقة بإتباع الطريقة الآتية:

→ لنفرض أن المسافة  $s$  **تغيرت** بمقدار  $\Delta s$  في أثناء عملية المسح بتردد أعلى من تردد القطع

لوحدة التحكم.

→ وعندما ليس من مجالٍ لتعويض التعديل بدارة التغذية العكسية لوحدة التحكم.

→ وبالنتيجة سوف يُعدَّ التيار بمقدار  $\Delta I_T$ ؛

→ ومن ثمَّ **تعطى** النسبة

$$j_d \equiv \frac{\Delta(\ln I_T)}{\Delta s} \approx \sqrt{\phi}$$

**مباشرة تابع العمل** ذا الصلة بالبقعة **C** في الحالة البسيطة الموضحة في **الشكل** (8-5).

○ وطالما يمكن قياس  $V_z$ ، و  $I_T$ ، و  $s$  فيمكن إعادة بناء **طبوولوجية سطح العينة المدروسة** وتابع العمل.

**إن هذا المخطط الأساس لمجهرية النفق** **تضمن**:

i. استقرار فجوة الخلاء في حدود ما دون الأنغستروم؛ ولتحقيق ذلك نستعمل وسائل ميكانيكية متطرفة

جداً ونكية.

ii. ومقدرة فاصلة جانبية في حدود الأنغستروم.

→ **وهذا بدوره** يحتاج إلى تخدامٍ ممِيز للاهتزازات ورؤوس نفقٍ حادةٍ جداً؛

→ حيث سُتُعمل في الوقت الراهن رؤوس نفق مصنوعة من أسلاك التنفسن أو الموليبدنيوم أنصاف قطر رؤوسها الإجمالية أقل من واحد ميكرومتر. غير أن عملية الصقل الجهرية القاسية تسمح بالحصول على **أسلاك منمنمة** Mini-tips أكثر حدة.

خصائص تيار النفق:

**أولاً** - تيار النفق حساس للغاية **للمدى فجوة الخلاء**  $\delta$  وهذا هو السبب الذي يفسر لماذا يحدد الرأس المعنن الأقرب إلى العينة كامل التيار المتدفق عبر الرأس؛

▶ فعلياً، تتعين المقدرة الفاصلة الجانبية **عرض قناة النفق** *Tunnel Channel* التي تُعد ضيقه للغاية

▶ فضلاً عن أن التركيز على تيار النفق (بالإضافة إلى التيار الهندسي) نابع من التخفيض الموضعي لارتفاع حاجز النفق عند قمة الرأس.

▶ حالياً تبلغ المقدرة الفاصلة لمجهر النفق الماسح STM  $0.05 \text{ \AA}^\circ$  شاقولياً؛

▶ وأقل من  $2 \text{ \AA}^\circ$  بشكل ملحوظ جانبياً.

يخضع مجهر النفق الماسح STM في أثناء عمله لنبع بعض القيود؛

→ إذ يمكن التحري بوساطته فقط عن العينات الناقلة

→ بالإضافة إلى ضرورة إجراء القياسات في خلاء فائق عادة.

**ثانياً** - من جهة أخرى، تيار النفق حساس لتركيب المادة وانفعاليها ثم إن المقدرة الفاصلة الذرية في كلا الاتجاهين الجانبي والشاقولي **تجعل** من الـ STM **وسيلة مثالية**، من أجل التحري عن السطوح والسطحيات الناتئة المتنامية على هذا **المستوى الذري**، التي يمكن أن تُقْيم تصوراً عن آليات الإنماء. إن ربط منظومات مجهر النفق الماسح STM بحرة الإنماء يسمح بإجراء القياسات بدون التخلص من الخلاء بعد الإنماء.

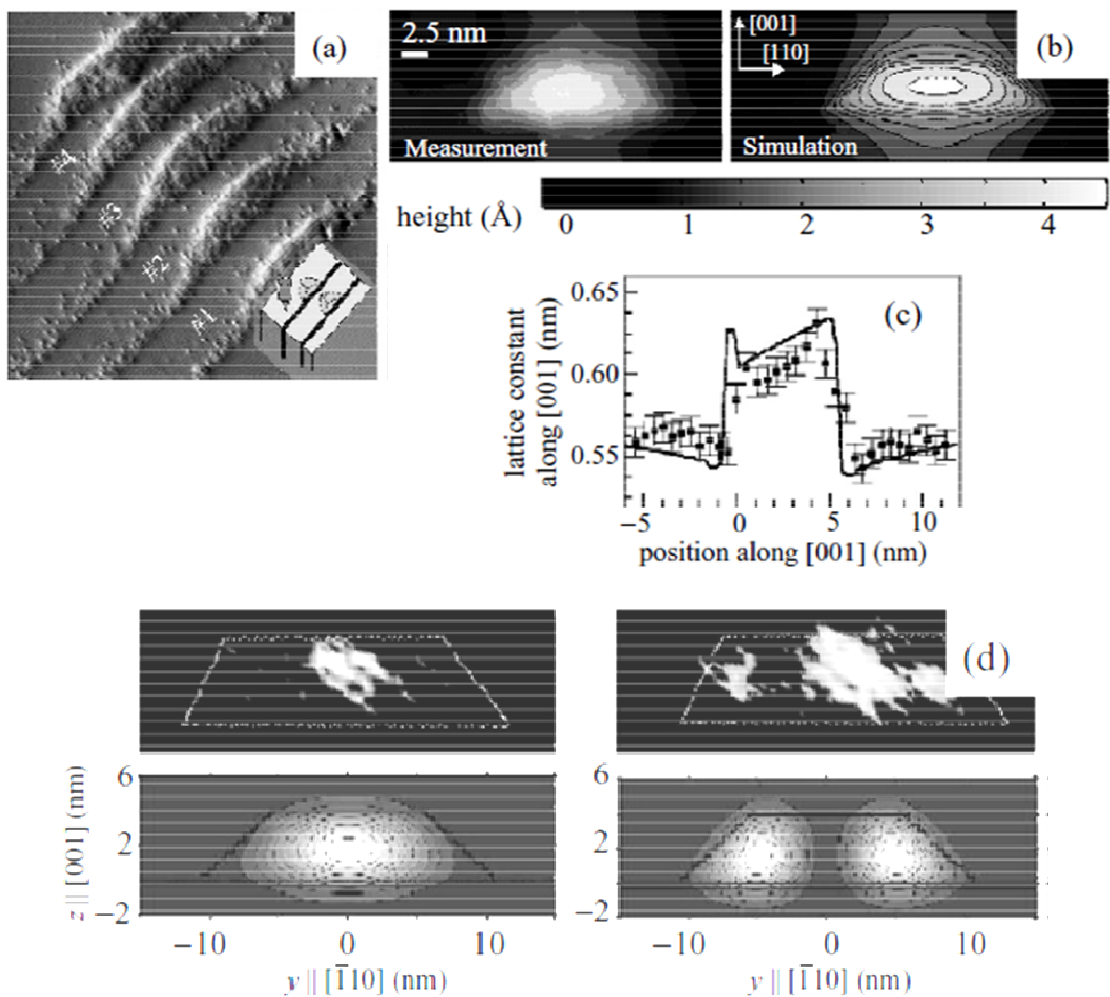
**ثالثاً** - تيار النفق في مجهر النفق الماسح STM **حساس فقط لطبقة رقيقة** من سطح العينة ولذلك من الممكن وجود تركيب بعيدة مخفية لا يلحظها مجهر النفق الماسح STM أبداً لا تقع في مجال رؤيتها. ومع ذلك يمكن التحايل بعض الشيء ودراسة التركيب المخفية بوساطة الـ STM وفق الآتي: في الواقع، يمكن بعد فلق أو قطع العينات دراستها بالـ STM عند حد القطع (تسمى مثل هذه الإجراء STM ذو المقطع العرضي). **إذ يستطيع** مثل هذه الإجراء الذي يتضمن المقطع العرضي إظهار تفاصيل على البنية الداخلية للأهداف النانوية المخفية.

وفي هذا السياق:

◦ يوضح **الشكل** (9b-5) الأشكال الجانبية المقيسة والمنمذجة التي تم تحصيلها بمجهر النفق الماسح STM الذي يدرس مقطعاً عرضياً من أجل رزمة من عناقيد زرنيخيد الإنديوم InAs على ركيزة من زرنيخيد الغاليم GaAs. إذ يظهر في **الشكل** (9a-5) جُزر زرنيخيد الإنديوم InAs Islands.

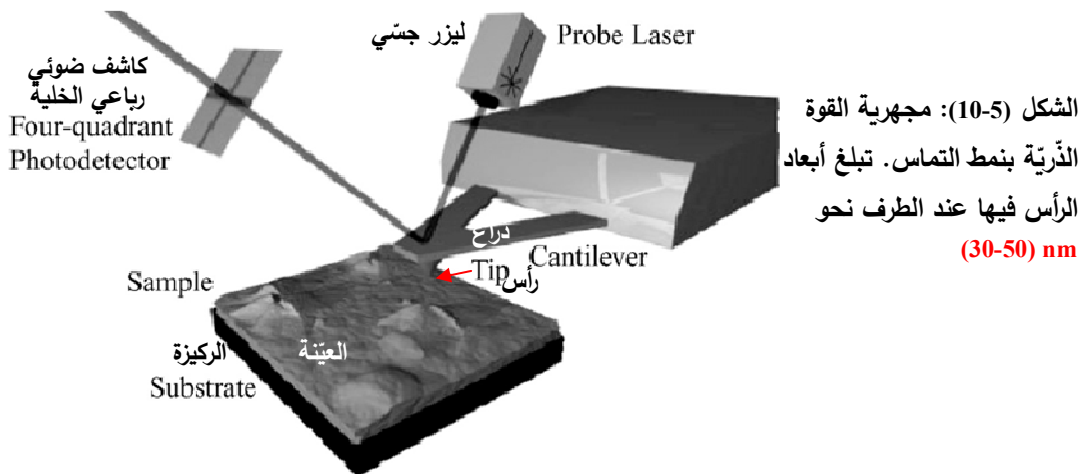
المخفية والتي لها شكل أهرامات مبتورة Truncated Pyramids. ووجد في هذه الجزر خلائط مرئية مع **تناقص خطى** للمركب GaAs من القيمة 0.4 عند القاعدة حتى 0 عند قمة الجزر.

- ويوضح **الشكل (9-5c)** توزع وسيط الشبكة البلورية الموافق باتجاه الإنماء حيث يشير هذا التوزع مباشرة إلى تزايد الإنفعال الانضغاطي في قالب زرنيخيد الغاليلوم GaAs فوق الجزر وتحتها. يجدر بالذكر أنه إلى جانب تأمين المعلومات حول بنية العينة تُستخدم STM في درجة الحرارة المنخفضة من أجل **تخيير التابع الموجي** *Wave-function Mapping* للحالات الطاقية أحادية الإلكترون في التركيب النانوية،



الشكل (9-5): المجهريات النانوية المساحة عرضية المقطوع: (a) صورة لرمزة جزر من InAs في GaAs؛ (b) مقارنة بين الشكلين المقاييس والمحاكي من أجل عينة مشابهة؛ (c) ثابت الشبكة البلورية في اتجاه الإنماء في جزيرة InAs (تم الحصول على المعطيات التجريبية من الـ STM عرضي المقطوع، ينتج الخط المتواصل من المحاكاة على فرض أنّ محتوى In متزايد بدءاً من قاعدة الجزيرة باتجاه رأسها)؛ (d) التابع الموجي الإلكتروني المقاس من أجل قيمتين مختلفتين لجهد الرأس المعدني الذي يقارن مع التابع الموجي الإلكتروني المحاكي من أجل الحالة الطاقية الأرضية والحالة المهيجة الأولى.

- فسابقاً، عند دراسة الحالات الإلكترونية في كمונات متناظرة كروياً **استعرضنا** الحالات المختلفة **التناظر**؛ الحالات **s**، و **p**، الخ.
  - وعند استخدام طرائق الـ **STM** لدراسة نقاط أو جبّات Dots (الجزر) من InAs **أظهرت** الـ **STM** ومباعدة الحالات الطاقية من النوع-**s** والنوع-**p** والنوع-**d**، وحتى من النوع-**f**، التي تبدو واضحةً من عدم تناظر البنية الإلكترونية الذي يمكن أن يُعزى إلى عدم التناظر في شكل الجزر.
  - ثم إن محاكاة الحالة الإلكترونية الأرضية والحالة المثارة الأولى لجُزيرة InAs توافق جيداً صورة الـ **STM** التي تُظهر أن التوابع الموجية في هكذا جزر تشابه الذرة Atom-like فعلياً، راجع الشكل (9d-5):
- إذ تُمثّل في الصورة اليسارية من الشكل (9d-5) الإلكترونات الواقعة في الحالة الأرضية
- وفي الصورة اليمينية منه تُمثّل الإلكترونات الموافقة لكلا الحالتين؛ الحالة الأرضية والحالة المثارة الأولى. وهذه الإلكترونات **تُسهم** في التوزع الإلكتروني المُمقas.
- ومن المهم الإشارة إلى أن هذين القياسيين أجرياً من أجل جهود مختلفة طبّقت عند رأس **STM**:
- ▶ فعند انحياز منخفض يوافق القيمة  $V = 0.69$  ثُبّم في صورة الـ **STM** الإلكترونات **s** فقط
  - ▶ ومن أجل انحياز كبير يوافق القيمة  $V = 0.82$  فـ يُسهم فيها الإلكترونات **s** و **p**.
- 2-4-5 مجهر القوة الذرية (AFM)**
- تقيس AFM القوة الناشئة بين سطح العينة ورأس دقيق للغاية؛ حيث تُقاس هذه القوة:
  - **إما** عبر تسجيل انحناء ذراع **يُثبت عليه** الرأس (وهذا ما يسمى بالقياس **بنمط التماس** **Contact Mode**)
  - **وإما** بقياس التغير الحاصل في تردد التجاوب بسبب القوة (وهذا ما يسمى بالقياس **بنمط النقر أو التتبع** **Tapping Mode**). فمثلاً، يوضح **الشكل** (10-5) تقنية AFM **بنمط التماس**.
  - **وتعُد** مجهرية القوة الذرية AFM بمقدمة فاصلة نموذجية تبلغ بضعة نانومترات جانبياً وبضعة أنغسترومات شاقوليًّا **تقنية مثالية** مناسبة لتصويف أشكال التراكيب النانوية.
  - كما يمكن الحصول على **الانتظام الذري الجانبي** من أجل أبعاد مسح كبيرة تزيد عن  $100 \mu\text{m} \times 100 \mu\text{m}$ .
  - ويمكن بمساعدة AFM التحري عن أي سطح؛ إذ نادراً ما تكون هناك حاجة لتحضير العينة.
  - يمكن عيـب AFM في إمكانية التحري عن التراكيب المتوفرة على السطح **فقط**؛
  - ومعظم المواد نصف الناقلة تتأكسد في الظروف المحيطة بالعينة بحيث يمكن القول وبقوـة أن صور AFM تُظهر سطح هذا الأكسيد عادةً.



الشكل (10-5): مجهرية القوة الذرية بنمط التماس. تبلغ أبعاد الرأس فيها عند الطرف نحو (30-50) nm

► ولهذا السبب، لا بد منأخذ ذلك بالحسبان عند الحصول على المعطيات الكمية، كالأبعاد والارتفاعات الجانبية للتركيب،

► فضلاً عن حقيقة أن الصورة فعلياً هي اقتران Convolution لمورفولوجية سطح العينة مع شكل الرأس المستعمل في المجهر.

يوضح **الشكل (10-5)** مظهراً تخطيطياً لـ AFM بنمط التماس. في الواقع،

- يتصل بالذراع ذي البعـد المـكـروـمـتـري رأس حـاد للـغاـية يـبـلغ بـعـدـهـعـنـنـهـيـاـيـةـمـنـ30ـnـmـإـلـىـ50ـnـmـ.
- وـثـمـةـ حـزـمـةـ لـيـزـرـيـةـ مـجـسـيـةـ مـنـخـفـضـةـ الـاسـتـطـاعـةـ تـنـعـكـسـ عـنـ سـطـحـ الـذـرـاعـ مـتـجـهـةـ نحوـ كـاـشـفـ فـوـتوـنـيـ.
- **رـيـاعـيـ التـوـضـعـ** (أـرـبـعـ كـوـاـشـفـ فـوـتوـنـيـةـ تـقـعـ فـيـ أـرـبـعـ مـرـبـعـاتـ مـتـجـاـرـةـ) يـسـجـلـ مـوـضـعـ الـحـزـمـةـ الـمـنـعـكـسـةـ:

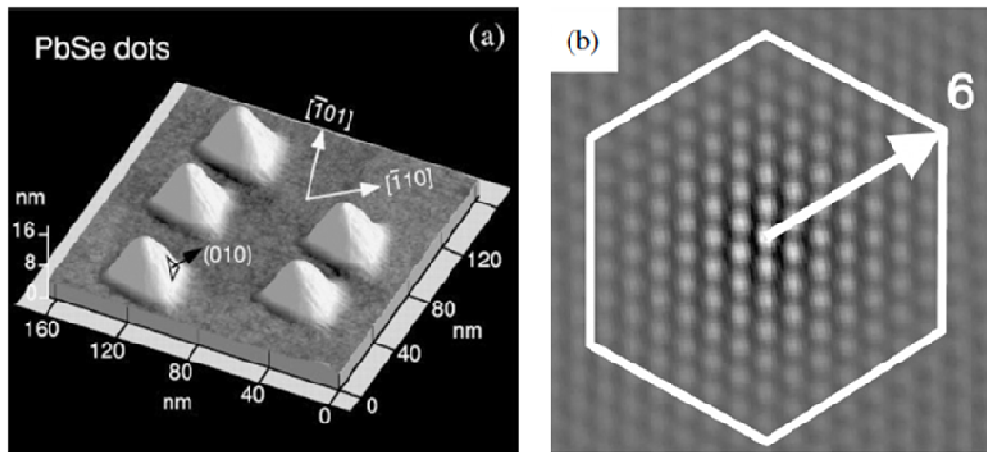
- يـلـاحـظـ أـنـهـ لـاـ تـوـجـدـ ضـرـورـةـ لـأـنـ تـتـرـاـصـفـ الـحـزـمـةـ الـجـسـيـةـ بـشـكـلـ مـثـالـيـ (ـطـالـمـاـ أـنـ جـزـءـاـ مـنـ الـحـزـمـةـ يـنـعـكـسـ نـحـوـ الـكـاـشـفـ وـالـسـطـحـ لـاـ يـعـكـسـ الـحـزـمـةـ بـشـدـةـ نـحـوـ الـكـاـشـفـ) وـلـاـ حـتـىـ أـنـ تـكـوـنـ أـصـغـرـ مـنـ الـكـاـشـفـ (ـطـالـمـاـ أـنـ الـفـارـقـ بـيـنـ الـإـشـارـاتـ الـتـيـ تـصـلـ الـمـنـطـقـةـ الـرـبـاعـيـةـ يـسـمـحـ بـتـحـدـيدـ مـوـضـعـ الـحـزـمـةـ).
- يـقـيـسـ الـكـاـشـفـ الـفـوـتوـنـيـ مـوـضـعـ الـحـزـمـةـ الـمـنـعـكـسـةـ الـتـيـ تـقـدـمـ بـدـورـهـاـ مـعـلـومـاتـ عـنـ مـوـضـعـ الـذـرـاعـ وـبـالـتـالـيـ عـنـ مـوـضـعـ الرـأـسـ.

- إـذـاـ كـانـ جـهـاـزـ AFMـ كـلـ يـمـسـحـ كـاـمـلـ السـطـحـ شـبـكـيـاـ أـيـ طـوـلـاـ وـعـرـضاـ (ـأـوـ الـعـيـنـةـ قـيـدـ الـمـسـحـ تـحـتـ الـمـصـوـرـةـ)ـ،ـ فـيمـكـنـ الـحـصـولـ عـلـىـ صـورـ لـتـضـارـيـسـ السـطـحـ.

يوضح **الشكل (11-5)** أمثلة على التحليل الكمي لصور AFM حيث يظهر فيها:

- أعلى سطح الطبقات المتعددة PbSe/PbEuTe (كلتا المادتين PbSe و PbEuTe نصفاً ناقلين)؛
- يمكن أن نرى في **الشكل (11a-5)** أن سيليnid الرصاص PbSe يُشكّل أهرامات مثلثية Triangular Pyramids بأوجه جانبية Side Facets من النوع-[001].

- ويمكن تحليل الانظام الجانبي أيضاً بوساطة AFM. والدليل على ذلك ما نراه في الشكل (11b-5) من انتظام مستوي - سداسي للأهرامات.



الشكل (11-5): جزر PbSe بأوجه من النوع-[001]: (a) صورة AEM للسطح العلوي لطبقة جزر PbSe/PbEuTe، (b) صورة AEM للسطح العلوي لطبقة جزر PbSe/PbEuTe بمساحة  $3\mu\text{m} \times 3\mu\text{m}$  حيث تترافق الجزر هنا وفق انتظام المجاورات السادسية الأقرب

#### 3-4-5 المجهر الإلكتروني بالنفوذ والمجهر الإلكتروني الماسح

**Transmission Electron Microscopy (TEM) and Scanning Electron Microscopy (SEM)**

من ضمن الطرائق التي تسمح "برؤية" الأشياء على المستوى النانومترى نذكر نوعين من المجهرية الإلكترونية، يؤديان دوراً مهماً في هذا السياق:

**النوع الأول**: المجهر الإلكتروني بالنفوذ TEM الذي يمكّنا من رؤية شرائح رقيقة *Thin Slices* من المادة بقدرة فاصلة نانومترية، وتتصف بالآتي:

- تمتلك تقنية TEM مقدرة فاصلة دون النانومتر ويمكنها، من حيث المبدأ، أن تحلّ الكثافات الإلكترونية من أجل ذرات مفردة.
- تعمل TEM بشكل مشابه لعمل المجهر الضوئي ولكنها تستخدم إلكترونات عوضاً عن الضوء المرئي، لأن الطول الموجي للإلكترونات أقل بكثير من الطول الموجي للضوء المرئي.
- تعتمد حدود المقدرة الفاصلة لأي مجهر على طول موجة إشعاع الجس *.The Probe Radiation*.
- وطالما أن الإلكترونات تُستخدم بدليلاً عن الضوء فإن العدسات الزجاجية لم تُعد مناسبة وعوضاً عن ذلك تُستعمل TEM عدسات مغناطيسية لحرف الإلكترونات.
- إلى جانب ذلك تشابه TEM المجهر العادي جداً من حيث العدسات **المجمعة** *Condenser*، والعدسات **الجسمية** *Objective*، وعدسات **الإسقاط** *Projector*.
- تنطلق الإلكترونات في TEM بشكل متوازٍ ومتافقٍ من المنبع وتخترق العينة ويكون النموذج الناتج لكلٍ من النفوذ الإلكتروني والامتصاص الإلكتروني مُضخماً على شاشة مراقبة.

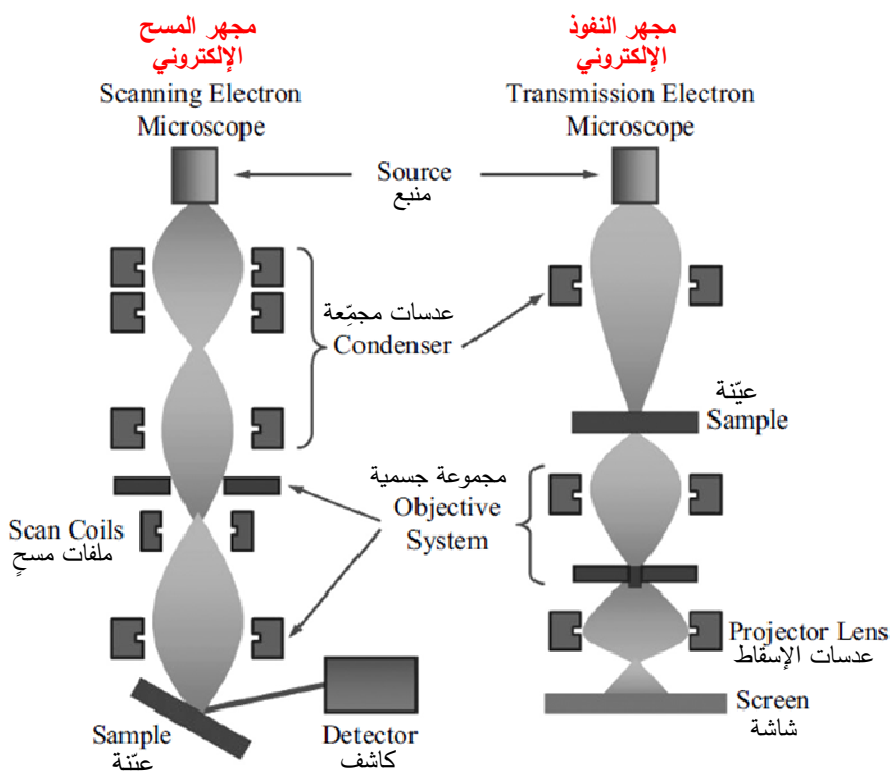
▪ وتسجّل الصورة عادةً بكاميرا قوامها نبيطة الاقتران بالشحنة (CCD) التي Charge-Coupled Device (CCD) تكون عنصر العمل فيها عبارة عن رقاقة سيليكونية سطحها مُقسّم إلى **صفيفه** كبيرة من **البيكسلات الحساسة** للشحنة المنقوله بالإلكترونات.

وفي المجهر الإلكتروني الماسح SEM، وهو **النوع الثاني**

- لا تسقط الحزمة الإلكترونية على كامل مساحة العينة بل تمسح سطحها شيئاً فشيئاً،
- ويتم رصد الإلكترونات الثانوية (أو الأشعة السينية) الصادرة من سطح العينة ثم تسجيلها،
- فنحصل على صورة بمقدرة **فاصلة منخفضة** ولكن على الرغم من ذلك تسمح هذه **الصورة** ب**بخاريط** Mapping سمات سطح العينة مباشرةً فضلاً عن إمكانية استعمالها من أجل تحليل العناصر الداخلة في تركيب العينة.
- يوضح **الشكل** (12-5) رسمياً تخطيطياً لكلا نوعي المجهرية الإلكترونية.

تُستخدم تقنيات المجهرية الإلكترونية على نطاق واسع بفضل مقدرتها الفاصلة المكانية العالية جداً وحساسيتها لمكونات العينة. ويمكن له TEM أن تعمل:

- ✓ من أجل شرائح رقيقة Thin Slices موازية لسطح العينة (TEM بمظهر مستوي)
- ✓ ومن أجل شرائح عرضية المقطع Cross-Sectional Slices.



الشكل (12-5): تمثيل بياني لمجهر إلكتروني ماسح SEM ومجهر نفود إلكتروني TEM

ولذلك، يمكن فحص التراكيب النانوية المخفية جيداً بـ TEM مع بعض القيود الناجمة من تحضير العينة: إذ يكون القطر الجانبي للجزيرة في الكثير من الحالات من رتبة سماكة الشريحة؛

وعادةً لا يكون تحليل الصورة بسيطاً ويطلب تقنية تحليل صور معقدة و/أو حسابات نموذجية متقدمة؛

وبالمقارنة مع التقنيات الأخرى يجري التحري بوساطة TEM عن مساحات صغيرة جداً عادةً ولذلك لا يمكن الحصول على قيم متوسطة إحصائية. ....

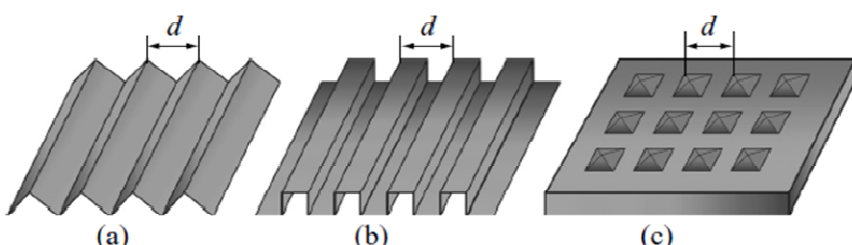
### 5-5 التشكّل التلقائي للتراكيب النانوية وانتظامها:

#### Spontaneous Formation and Ordering of Nanostructures

يتضح من الفقرات السابقة أن تقنيات الإنماء البلوري وتصنيع النبات الموقعة تطورت كثيراً وأحدثت نقلة نوعية على مستوى النبات والstrukture نصف الناقلة النانومترية. إن كل خطوة نحو تحضير وإتمام تراكيب نانومترية صناعية تشمل عدداً من العمليات الفيزيائية والكيميائية الجديدة وتحتاج لمجهود حقيقي كبير وابتكارات تقنية جدّية.

- من المهم الإشارة إلى أن الطبيعة الأم تشير إلى طريقة أخرى لإنتاج تراكيب نانومترية: فعلاً، إن ظاهرة التشكّل التلقائي لstrukture قطاعية دورية في الأجسام الصلبة، بدورية ماكروسکوبية، معروفة منذ عقود.

- والتقديم** الذي حصل في مصوّرات TEM، و STM، و AFM يُسهل → الرصد الموثوق والدقيق لأسطحِ وstrukture دورية؛ بدورية مميزة من رتبة واحد إلى 100 نانومتر، → والتحري عن هذه الأسطح وstrukture والتحكم بها. وهذا **بدوره** يفتح آفاقاً جديدة أمام → تطبيق عمليات الإنماء بطريقة الانتظام الذاتي → إلى جانب تشكّل تراكيب منتظمة دوريّاً على أسطح نصف ناقلة من أجل **التصنيع المباشر** لstrukture ونبائط نانوية كمومية.



الشكل (14-5): ثلاثة أنواع لstrukture نانوية: (a) سطوح متناظرة دورية؛

(b) قطاعات مستوية دورية؛ (c) جزر انفعال دورية ثلاثة البعد

توجد ثلاثة فئات مميزة للتراكيب النانوية تلقائية التشكّل على سطح يوضحها **الشكل** (14-5). هذه التراكيب النانوية هي:

الفئة الأولى: سطوح مترافقون دوريّة على هيئة "أوكارديون" *Periodically Faceted Surfaces*, كما في **الشكل** (14a-5):

الفئة الثانية: تراكيب دوريّة مؤلّفة من قطاعات مستويّة *Planar Domains*, كما في **الشكل** (14b-5):

الفئة الثالثة: صفيقات منتظمة دوريّة مؤلّفة من جُزر انفعاليّة متّسّكة ثلاثيّة البعد تتشّكل في جمل متّغيرة متّبعة **إبيتاكسياً** *Heteroepitaxial Systems* ومتّباعنة شبكيّاً, كما في **الشكل** (14c-5).

بصرف النظر عن حقيقة اختلاف هندسة هذه الفئات الثلاث إلّا أنّه توجد معالم وسمات مشتركة فيما بين كل هذه التراكيب النانوية. فإنّي السمات المشتركة الرئيسيّة تكمن في أن السبب الكامن وراء الانفعال الدوري للتراكيب النانوية، هو توافر تأثير مرنٍ بعيد المدى *Long-Range Elastic Interaction*. يتكون حقل الانفعال المرن

→ إما بسبب انقطاع خصائص المرونة الذاتية عند حدود القطاعات

→ وإما بسبب عدم التوافق الشبكي بين المادتين اللتان تولّفان الجملة المتّغيرة المتّبعة **إبيتاكسياً**، وإنما الأثنين معاً.....

إن هذه الفئات الثلاث هي تراكيب تقع في حالة توازن يمكن رصدها على وجه الخصوص

✓ عند التخيير الحراري *Annealing* للبلورة

✓ أو عند الإيقاف المفاجئ *Interruption* لعملية إنماء البلورة.

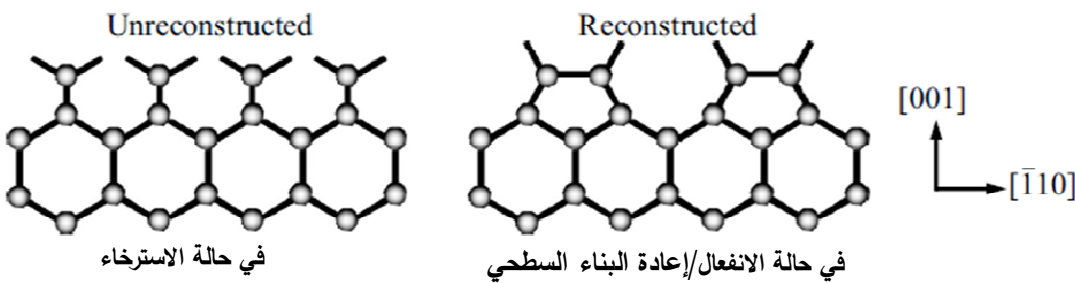
وهنا نحصر مناقشتنا على تشكّل جُزر الانفعاليّة المتّسّكة ثلاثيّة البعد.

**نبدأ بمناقشة موجة لانفعال الظاهر عند سطوح الأجسام الصلبة:**

► بما أنّ الذرات في الطبقة السطحية لأي مادة تقع في جوٍ مختلف عن الجو الذي تتعرّض له المادة في الحجم، فإنّ الطبقة السطحية **تُفضِّل** - طقّياً - ثابت شبكة بلوريّة يختلف عن قيمة الحجمية في الاتجاهات الموازية للسطح.

► فالطبقة التي تُضيّط لتوسيع الشبكة البلوريّة الحجمية تكون إما ممدودة *Stretched* وإما مضغوطة *Compressed* ذاتياً ولذلك، يتصف السطح بإجهاد سطحيٍّ متّصلٍ، حتى إن تناول البلورة عند السطح يمكن أن يتغيّر، وهذا ما يُعرف بإعادة البناء السطحي *Surface Reconstruction*. **والشكل** (15-5) يوضح إعادة بناء سطح السيليكون Si:

إن الإجهاد السطحي المتّصل لجسم صلب يُشابه إلى حدٍ ما التوتر السطحي لسائل ومع ذلك ثمة اختلاف أساسي بين خصائص سطح سائل وخصائص جسم صلب.



الشكل (15-5): إعادة بناء سطح سيليكوني

→ عملياً، السوائل متماثلة المناخي وعمليات تشكّل سطح سائل وعمليات تشوّهه متطابقة ويمكن وصفها ببارامتيرٍ وحيدٍ يصف طاقة انقطاع الروابط عند السطح، وهذا ما يسمى الطاقة السطحية *Surface Energy*. هذا في حالة السوائل

→ ولكن عملية تشكّل سطح في البلورات فمختلفة تماماً عن ذلك:

- فالمسافة بين الذرات تتغير فضلاً عن إمكانية تغير التنازل؛
- وهذا يختلف تماماً عن الانقطاع البسيط للروابط.
- أضعف إلى ذلك، البلورات ليست متماثلة المناخي والطاقة اللازمة لخلق سطح حرٍ لاتجاه معطى يتعلّق بالاتجاه.

تؤدي هذه المعالم والسمات لسطح الأجسام الصلبة إلى صياغة ثلاثة نماذج إنماء إبباتاكسية مختلفة وهي:

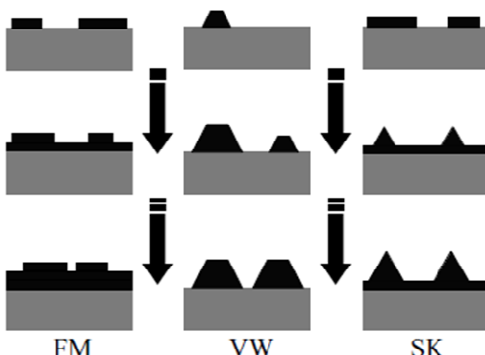
(1) نموذج (FM) هو نمط إنماء الطبقة طبقة *Layer-By-Layer* Frank-Van Der Merwe

(2) نموذج (VW) هو نمط إنماء جُزر ثلاثي البعد Volmer-Weber

(3) نموذج (SK) هو نمط إنماء الطبقة طبقة إلى جانب إنماء الجُزر.

والشكل (16-5) يوضح هذه الأنماط الثلاثة.

يتعلق نمط إنماء معين من أجل جملة معطاة بالطاقات السطحية والتباين الشبكي بين مادتي الركيزة والطبقة المتنامية عليها. إن نظم الإنماء التي تمت مناقشتها في الفقرة 5-2 هي من النموذج FM.



الشكل (16-5): ثلاثة نظم إنماء لجمل إبباتاكسية متغيرة؛ نموذج FM، نموذج VW، ونموذج SK.

♣ نعرف الطاقة السطحية في المناقشة الآتية على أنها طاقة زائدة لطبقة مشوهة رقيقة جداً (من رتبة

طبقة واحدة وطبقتين) على مستوى الجزيء *(One Monolayer)* عند السطح الحر لجسم صلب؛

♣ ونعرف الطاقة البنية *Interface Energy* بأنها الطاقة الزائدة لطبقة رقيقة عند السطح الفاصل بين جسمين صلبين.

♣ تجدر الإشارة إلى أن السيطرة على نموذج الإنماء الفوقي وتحديد في الجمل **المتوائمة شبكيًّا** تعود للطاقات البنية والسطحية فقط. **ل يكن**:  $\gamma_1$  الطاقة السطحية للركيزة *Substrate*؛

$\gamma_2$  الطاقة السطحية للطبقة الفوقي *Epilayer*؛ و  $\gamma_{12}$  الطاقة البنية؛

✓ فإذا كان مجموع الطاقة السطحية للطبقة الفوقي والطاقة البنية أقل من طاقة سطح الركيزة، أي  $\gamma_1 + \gamma_2 > \gamma_{12}$ ، فإن المادة المترسبة تبل الركيزة ويحدث إنماء الطبقة طبقة *FM*.

✓ يمكن أن يؤدي التغير في  $(\gamma_1 + \gamma_2)$  إلى انتقال من نموذج الإنماء الطبقي *FM* إلى نموذج الإنماء الجُزري *VW*. إن هذين النموذجين المتوفرين معاً في المواد المتبلورة يُشبهان تماماً النموذجين المتعاكشين في سائل.

→ يمكن أن يحدث **إنماء أولي** طبقة- طبقة من أجل طبقة منفعة فوقية بطاقة بنية  $\gamma_{12}$  صغيرة

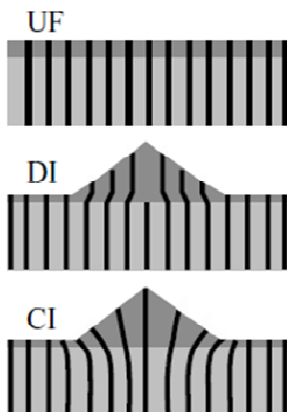
→ ولكن حالما تُصبح الطبقة المتمامية أكثر سماكة بمقدور هذا الإنماء تخفيف طاقة انفعالها المتزايدة عبر تشكيل **جزر معزولة** *Isolated* يكون الانفعال فيها منخفضاً.

→ وهذا يؤدي إلى نموذج الإنماء **SK** (الطبقي- الجُزري).

→ وهكذا نجد أن النموذج **SK** يتعلق بالتبالين الشبكي بشدة؛

→ وثمة ثلاثة سيناريوهات لاسترخاء الانفعال *Strain Relaxation* يوضحها **الشكل** (17-5):

أولاً- سيناريو يوافق **الشكل** (17a-5) إنماء فوقياً مسلياً منتظماً *Pseudophormic Growth* زائف الشكل (Pseudophormic Growth) يعني الإنماء زائف الشكل أن المادة المنمأة الفوقي تختلف عن المادة الأساسية ولكنها تحافظ على شكلها البلوري الخارجي واتجاهها البلوري وأبعادها) بدون أي استرخاء **اجهاد** *Stress Relaxation* يمكن أن يتوافر من أجل طبقة منفعة رقيقة جداً.



الشكل (17-5): استرخاء الإجهاد- المرن الذي يحدث أثناء نمو (تخطيطياً). ترمز المساحات الرمادية الفاتحة للركيزة

والغامقة للطبقة الفوقي المتباعدة شبكيًّا.

وترمز الخطوط السوداء للمستويات البلورية.

الجزء العلوي- فلم انفعال منتظم (UF)؛

الجزء الأوسط- جزر استرخاء بالانخلاع (DI)؛

الجزء السفلي- جزر انفعال متماسك (CI)؛

ثانياً - سيناريو يوافق **الشكل** (5-17) جزيرة استرخاء بالانخلاع *Dislocated Relaxation Island*. ثالثاً - سيناريو يوافق **الشكل** (5-17c) جزيرة انفعال متماسك *Coherently Strained Island*. تُعد التراكيب المنفعلة بشكل متماسك الأكثر أهمية من وجهاً نظر استخدام الجُزر نانوية البعد المتشكلة ذاتياً بفضل نوعية هذه التراكيب العالية.

تحدث السيناريوهات التي يوضحها **الشكل** (5-17) نتيجة الدور المتداخل لعدة متاحلات:

A. نسبة الطاقة السطحية إلى طاقة السطح البيني المنخل،

B. كمية المادة المترسبة  $Q$ ,

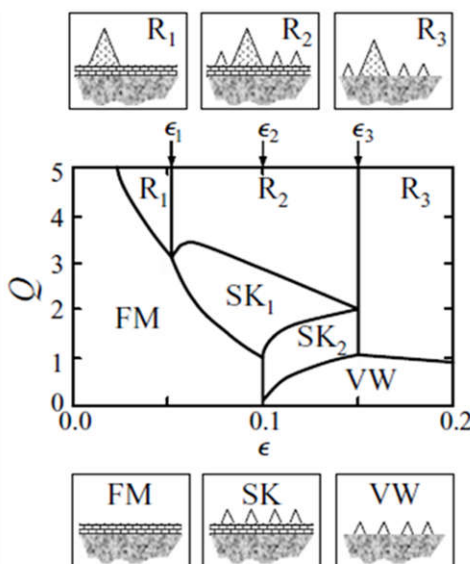
C. **التباین الشبکی**  $\in$  *Lattice Mismatch* ....

وبمثابة مثال، يوضح **الشكل** (5-18) مخططاً لنظم نمو ممكنة حيث يجري توصيفها بدالة كمية المادة المترسبة  $Q$  كتاب **للتباين الشبکي**  $\in$  ....

إن التأثير المرن بين الجُزر، الذي يظهر عبر تشوه الركيزة، **يكون جوهرياً** أي ذات قيمة من أجل جملة مكثفة من الجُزر. وعندما تُعد جملة الجُزر المتآثرة جملة قطاعات مرنة حيث يكون حد الطاقة الأدنى موافقاً لتركيزِ ذي قطاعات دورية. إذن، ثمة احتمالية لإنماء جملة منتظمة من جُزر نانومترية.

سندرس بعد هذا التحليل العام لتشكل جُزر ثلاثة البعد، بطريقة النمو زائف **الشكل** لمواد متبورة، أمثلة محددة على هكذا تراكيب متغيرة نانوية البعد تتمو ذاتياً. تم **الحصول** على الشواهد التجريبية الأولى حول تشكل الجُزر المنفعلة بشكل متماسكٍ بوساطة TEM **للحملة**  $\text{InAs/GaAs}$  (مادة الركيزة  $\text{GaAs}$  ومادة الطبقة الفوقية  $\text{InAs}$ ):

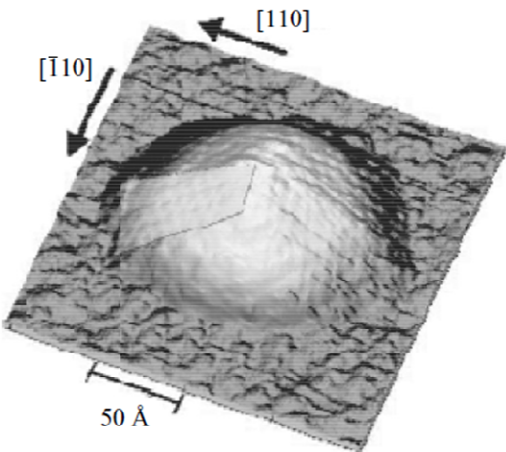
يتضح من المعطيات المجدولة في **الجدول 8-4** أن الجملة  $\text{InAs/GaAs}$  متباعدة شبكيًّا بثابت تباين شبکي يساوي نحو  $\approx 7\%$ .



**الشكل** (18-5): تمثيل بياني لطورِ متوازنِ لجملة ايتاكسيَّة متغيرة متباعدة شبكيًّا كتاب **للمادة المترسبة الإجمالية  $Q$  والتباين الشبکي**  $\in$ . توضح الرسوم الموجودة أعلى التمثيل البياني وأسفله مورفولوجية السطح في نماذج النمو الستة الموصوفة في متن النص. ترمز المثلثات الفارغة الصغيرة إلى وجود جزر مستقرة في حين ترمز المثلثات المظللة الكبيرة إلى جزر "تاضجة".

ولقد تم الحصول على **جزر انفعالي متصل** وجُزر مستقرة من أجل العديد من الجمل:

- Ge/Si، و GeSi/Si (ركيزة السليكون Si في الاتجاه [100]),
- و InAs/InP، AlInAs/GaInAs، و CdSe/ZnSe، الخ.

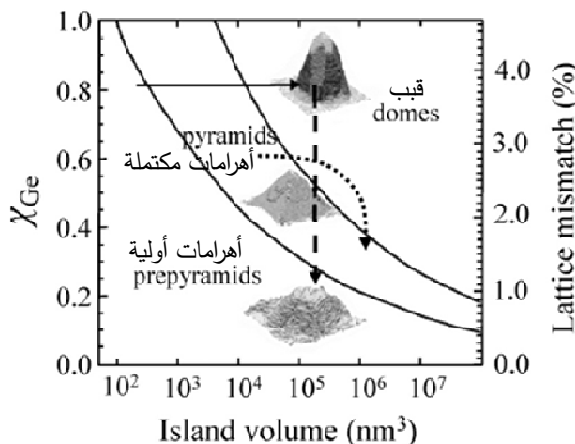


الشكل (5-19): جزيرة معزولة من  $\text{InAs}$  تشكلت على ركيزة من  $\text{GaAs}$

لدراسة تشكّل الجُزر تُطبق عادةً طريقة الإيقاف المفاجئ للإنماء؛ إذ تسمح هذه الطريقة بضبط كمية المادة المترسبة حتى إلى ما دون الطبقة الواحدة- على مستوى الجزيء عند درجة حرارة الإنماء ذاتها؛ فمثلاً، عند درجة حرارة نمو تساوي  $480^{\circ}\text{C}$  تظهر المعالم والسمات الآتية:

- عندما تبلغ السماكة الوسطية لمادة  $\text{GaAs}$  المترسبة قيمة حديّة تساوي من 1.6 إلى 1.7 طبقة- على المستوى الجزيء يحدث انتقال مورفولوجي من طبقة زرنيخيد الإنديوم  $\text{InAs}$  إلى **جزيرات** زرنيخيد الإنديوم  $\text{InAs}$  ثلاثة البعد.
- وبعد ترسيب طبقتين- على مستوى الجزيء من زرنيخيد الإنديوم  $\text{InAs}$  **تشاهد** صفيحة جُزر جيدة النمو حيث تساوي القيم الوسطية **لبعد الجانبى للجُزر**  $\text{Å}$   $(100-140)$ ، **ولارتفاعها**  $\text{Å}$   $(50-80)$ ، **ولكتافتها**  $(10^{10} \text{ cm}^{-2} - 10^{11} \text{ cm}^{-2})$ .
- يوضح **الشكل (5-19)** **جزيرة InAs** وحيدة تشكّلت على ركيزة  $\text{GaAs}$  تمت دراستها بوساطة مصوّرة **النف الماسح STM**.
- **تُظهر** نتائج الإنماء الطبقية ودراسات التخمير الحراري Annealing اللاحقة، بشكل عام، أن الجُزر التي تنمو وفق النمط SK تكون ثابتة ومستقرة عادةً أمام التخمير الحراري.
- ضمن شروط الإنماء المعطاة **تعين** أبعادها وأشكالها جيداً؛ فمثلاً، ثُرِصد في  $\text{SiGe/Si}$  فقط أربعة أشكال واضحة تماماً للجُزر:
  1. أهرامات أولية قليلة الارتفاع، Shallow Prepyramids،
  2. أهرامات مربعة Square Pyramids،
  3. "عناقيد كوكية الشكل (تراكمات كوكية)" - أهرامات ممطوطة Elongated Pyramids،
  4. قُبب كبيرة ذات أوجه (ستيغات) متعددة الاتجاه.

يوضح **الشكل (20-5)** مخططاً يربط **الأشكال الممكن توافرها للجُزر** إلى جانب حجومها وثوابت التباين الشبكي Lattice Mismatch على ركيزة سيلكونية Si:



**الشكل (20-5)**: انتقال شكل جزر Ge أو SiGe أو المنشأة على [001] Si أثناء النمو (السهم المستمر)، والتخمير العراري بعد النمو (السهم المنقط)، وقلنسوة السيلكون Si (السهم المتقطع). تمثل المنحنيات Si-Capping المستمرة الحجوم الحدية من أجل الأهرامات والقبب.

في المرحلة الأولى من النمو تظهر **أهرامات أولية خفيفة** ♥ تتحول لاحقاً إلى **أهرامات مكتملة** ثم إلى **قبب**.

تشاهد الأهرامات والقبب بوضوح خلال النمو في درجات حرارة النمو الأعلى في حين تتشكل عناقيد كوكبية الشكل بأحجام أصغر منها بكثير في درجات حرارة نمو أخفض. الأبعاد الجانبية النموذجية للجُزر تبلغ من 800 Å إلى 1000 Å وارتفاعاتها من 60 Å إلى 100 Å. يمكن تفسير كل هذه السمات والمواصفات للنمو الجُزري عبر

♥ **تحليل الطاقات السطحية والбинية**،

♥ بالإضافة إلى طاقة المرونة للمواد المنفعلة.

♥ فضلاً عن أن عدم تماثل المناخي البلوري يُعد عاملاً مهماً في تشكيل الجُزر.

أمّا بالنسبة للترابط الجانبي للجُزيرة فيكون التأثير المتبادل للجُزر على السطح ذاته ضعيفاً للغاية ويمكن رصده تجريبياً فقط من أجل النمو بمعدلات منخفضة جداً أي من أجل النمو **القريب جداً** من حالة التوازن الترموديناميكي.

عادةً، يمكن أن يؤدي الانتظام الذاتي الجانبي للجُزر إلى  **تكون** أنماط انتظام قصيرة المدى بدورية مذهلة Astonishing Regularity؛ **ولكن لا تُتج** هذه العملية انتظاماً حقيقياً طويلاً المدى.

- يمكن تحقيق انتظام الجزر باستخدام ما يسمى **بالتقسيمي الجُزري** Island Nucleation (شكل أنوية من الجزر) على ركائز مخططة مسبقاً Pre-pattering Substrates بطريقة الرسم الهندسي المادي.
- ويشكل مشابه لحالة الركائز غير المخططة Non-pattering Substrates يتأثر **تقسيمي الجُزر** من أجل الركائز المخططة مسبقاً بـ **بقوس السطح والإجهاد السطحي**.

وهكذا نجد أنه يمكن تحضير الركائز لضمان **تقسيم أولي** في موقع اختياري منها؛ حيث يمكن استخدام طرائق مختلفة لهذا الغرض؛

→ **كأن نقوم بتنميـش خـيفـاً لأـخـادـيد** Trenches في ركـيزـة السـيلـيـكون Si (أـيـ نـحـفـرـ فـيـهـاـ أـخـادـيدـ) بـلـيـهـ نـمـوـ سـيلـيـكونـ جـرـمـانـيـومـ GeSiـ مـتـعـدـ الطـبـقـةـ فـنـوـةـ جـرـمـانـيـومـ Geـ؛

→ أو بـطـرـيـقـةـ الإـنـمـاءـ الـمـبـاـشـرـ لـلـجـرـمـانـيـومـ Geـ فـيـ حـفـرـاتـ مـنـمـشـةـ ثـانـيـةـ الـبـعـدـ دـوـرـيـاـ.

تـوـدـيـ الـطـرـيـقـةـ الـأـخـيـرـةـ إـلـىـ إـنـتـاجـ تـرـاـكـيـبـ عـلـىـ هـيـةـ جـُـزـرـ مـنـتـظـمـةـ عـلـىـ الـمـدـىـ الـبـعـدـ،ـ كـمـ يـوـضـعـ

**الـشـكـلـ (21-5)**؛ـ حـيـثـ تـظـهـرـ نـوـءـ النـمـوـ عـنـ تـقـاطـعـ الـأـسـطـحـ الـجـانـبـيـةـ فـيـ الـحـفـرـاتـ.

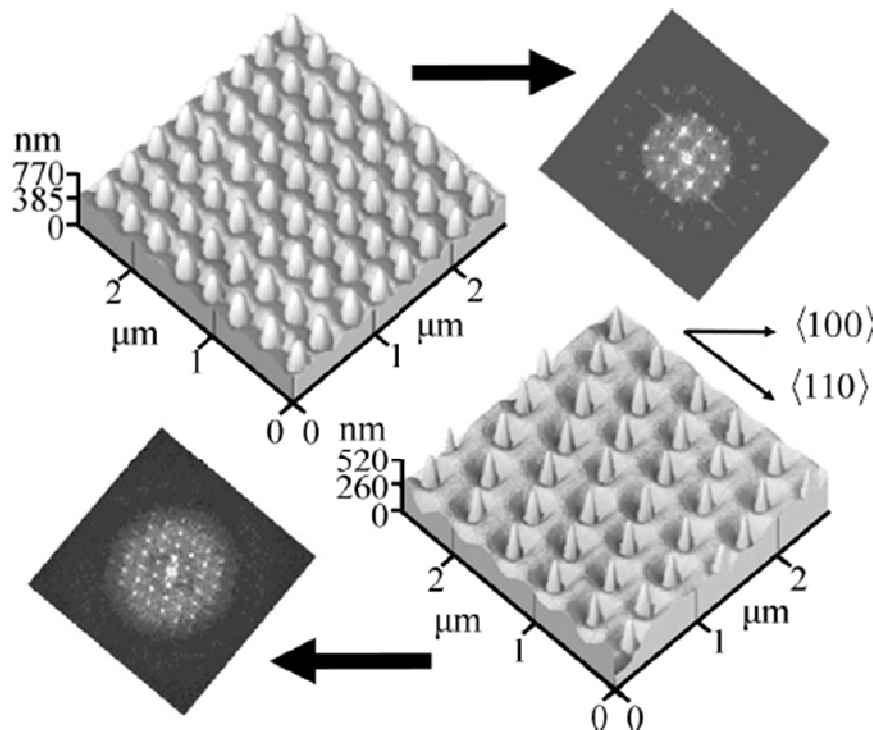
وـمـنـ ثـمـ يـمـكـنـ اـسـتـخـدـمـ تـوـلـيـفـةـ مـؤـلـفـةـ مـنـ:

→ **عـلـيـاتـ التـنـظـيمـ** (ـالـتـكـونـ) الـذـاتـيـ فـيـ النـمـوـ الـبـلـوـرـيـ

→ **وـطـرـائـقـ التـخـطـيـطـ الـمـسـبـقـ** لـبـلـوـغـ تـوـضـعـ دـقـيقـ لـجـُـزـرـ مـفـرـدـ وـبـاـنـظـامـ عـالـيـ عـبـرـ كـاـمـلـ التـرـاـكـيـبـ

ـالـمـتـغـاـيـرـةـ نـانـوـيـةـ الـبـعـدـ.

وـأـخـيـراـ يـشـارـ إـلـىـ أـنـ تـطـبـيـقـاتـ بـعـضـ الـنـبـائـطـ تـحـتـاجـ لـجـُـزـرـ مـنـتـظـمـةـ مـضـبـوـطـةـ الـمـوـضـعـ.ـ يـصـعـبـ بـلـوـغـ هـذـاـ الـهـدـفـ بـاـسـتـخـدـمـ الـتـنـظـيمـ الـذـاتـيـ مـنـفـرـداـ وـلـكـنـ يـمـكـنـ مـنـ خـلـالـ دـمـجـهـ مـعـ تـقـنـيـاتـ أـخـرـىـ بـلـوـغـهـ بـنـجـاحـ.



الـشـكـلـ (21-5):ـ صـورـ AFMـ لـسـطـحـ طـبـقـةـ جـرـمـانـيـومـ مـنـمـأـةـ عـلـىـ رـكـائـزـ سـيلـيـكونـيةـ [001]ـ تـمـ تـحـضـيرـهـاـ مـسـبـقاـ بـطـرـيـقـةـ الرـسـمـ الـهـنـدـسـيـ الـمـادـيـ.ـ يـظـهـرـ فـيـ الـمـثـالـ الـمـدـرـوـسـ،ـ فـيـ الـجـزـءـ الـعـلـوـيـ الـيـسـارـيـ،ـ جـزـرـ تـوـزـعـتـ عـلـىـ شـكـلـ صـفـيـفـةـ مـنـتـظـمـةـ عـلـىـ طـوـلـ اـتـجـاهـيـنـ مـتـعـاـمـدـيـنـ [110]ـ.ـ وـيـظـهـرـ فـيـ الـمـثـالـ،ـ فـيـ الـجـزـءـ الـسـفـلـيـ الـيـمـينـيـ،ـ مـتـجـهـاتـ الـواـحـدـةـ لـصـفـيـفـةـ ثـانـيـةـ الـبـعـدـ لـأـخـادـيدـ مـوـجـهـةـ عـلـىـ طـوـلـ الـاتـجـاهـيـنـ [100]ـ وـ [110]ـ مـاـمـاـ أـدـىـ إـلـىـ تـرـاصـفـ جـزـرـيـ مـاـئـلـ بـزاـوـيـةـ 45°ـ.ـ يـظـهـرـ اـنـعـاجـ الـأـشـعـةـ السـيـنـيـةـ (ـالـشـكـلـ الـعـلـوـيـ الـيـمـينـيـ وـالـسـفـلـيـ الـيـسـارـيـ)ـ درـجـاتـ اـنـتـظـامـ عـالـيـةـ لـلـجـزـرـ.

وتعُدُّ الأُساليب الـثلاث الآتية واعدة للغاية لهذا الغرض:

1. دمج عملية التكوُّن الذاتي مع الرسم الهندسي المادي التقليدي سيسمح بمراقبة موقع تراكيب نانوية ذاتية التشكُّل من دون فقد المزايا المتأصلة؛
2. إنَّ دمج عملية التشكُّل الذاتي مع طريقة الإنماء بوساطة بذرة Seeded Growth وبمساعدة جسيمات تحفيز نانوية يُسْهِلُ تصنيع تراكيب من جُزر النمط SK أبعادها أصغر بشكل ملحوظ؛
3. دمج آلية التكَّل الذاتي (التجُّم الذاتي) Self-Assembly مع تقنيات الكيمياء العضوية والكيمياء الحيوية.

يبدو في الوقت الراهن أنَّ التصنيع الموجَّه لتراكيب صغيرة للغاية من رتبة بضعة نانومترات وفي الاتجاهات الثلاثة معالجة هذه التراكيب اصطفائيًّا Selective Addressing معقولٌ وملاائمٌ تماماً.



مكتبة  
A to Z